



Активність комети 9P/Tempel 1 з 1867 по 2005 р.

К.І. Чурюмов¹, В.С. Філоненко², Л.С. Чубко³

¹Астрономічна обсерваторія Київського національного університету

²НДІ астрономії Харківського національного університету ім В.М.Каразіна

³Національний авіаційний університет, Київ

Побудовано криві блиску періодичної комети 9P/Темпеля 1 в появах 1972, 1983, 1994 і 2005 рр. Обчислено фотометричні параметри H_0 , n і H_{10} . Вивчено вікове ослаблення яскравості цієї комети. Побудовано криву блиску комети поблизу моменту імпакта і порівняно з швидкістю виділення води.

АКТИВНОСТЬ КОМЕТЫ 9P/ТЕМПЕЛЯ 1 С 1867 ПО 2005 ГГ. Чурюмов К.И., Филоненко В.С., Чубко Л.С. — Построены кривые блеска периодической кометы 9P/Темпеля 1 в появлениях 1972, 1983, 1994 и 2005 гг. Вычислены фотометрические параметры H_0 , n и H_{10} . Изучено вековое ослабление яркости этой кометы. Построена кривая блеска кометы вблизи импакта и сравнена со скоростью выделения воды из ядра.

ACTIVITY OF COMET 9P/TEMPEL FROM 1867 TO 2005, by Churyumov K.I., Filonenko V.S., Chubko L.S. — The light curves of integrated visual brightness of the periodic comet 9P/Tempel during 1972, 1983, 1994, and 2005 appearances were constructed and studied. The values of photometrical parameters H_0 , n , and H_{10} were computed. A secular fading of this comet was studied. The light curve of comet near the impact time was constructed and it was compared with comet's water production rate.

1. ВСТУП

4 липня 2005 р. була успішно завершена космічна місія “Deep Impact” до ядра короткоперіодичної комети 9P/Tempel 1. Можливо, що після штучного впливу (удару) на ядро комети змінились характер її активності і фотометрична еволюція. Тому важливо вивчити фотометричні особливості і зміну фотометричної поведінки комети у всіх її появах, що спостерігались.

2. СПОСТЕРЕЖНИЙ МАТЕРІАЛ І ЙОГО АНАЛІЗ

Комета Tempel 1 була відкрита в 1867 р. Георгом Темпелем в Марселі як розмитий дифузний об'єкт з слабкою центральною конденсацією з блиском $\sim 9^m$. Потім спостерігалась в наступних двох появах в 1873 і 1879 рр. В 1881 р. вона пройшла на відстані 0.55 а.о. від Юпітера, в результаті чого орбіта її змінилась і комета була втрачена. Знову перевідкрили її лише в 1967 р. і, починаючи з 1972 р., комета спостерігається в кожній своїй появі. Проте достатня для аналізу фотометричної поведінки кількість спостережень була отримана лише для появ комети 1972, 1983, 1994 і 2005 рр.

Було використано понад 1100 оцінок інтегрального візуального блиску комети, опублікованих в архівах International Comet Quarterly, Comet Section of British Astronomical Association та Інтернеті. Усі оцінки блиску було редуковано до стандартної апертури телескопа [1].

Зміна інтегрального блиску комет з геліоцентричною відстанню (криві блиску) зазвичай описується формулою С.В.Орлова

$$m_{\Delta} = H_0 + 2.5n \log r, \quad (1)$$

де $m_{\Delta} = m_1 - 5 \log \Delta$ — геліоцентрична зоряна величина комети, m_1 — спостережуваний інтегральний блиск, H_0 — абсолютна зоряна величина, n — фотометричний параметр, Δ та r — геоцентрична і геліоцентрична відстані комети відповідно.

Для дослідження вікової еволюції кометної активності велике значення має абсолютна зоряна величина H_{10} , введена С.К.Всехсвятським:

$$H_{10} = m_1 - 5 \log \Delta - 10 \log r. \quad (2)$$

3. ФОТОМЕТРИЧНА ПОВЕДІНКА КОМЕТИ

Крива візуального інтегрального блиску комет характеризує зміну їх активності з часом і зі зміною їх геліоцентричної відстані. Порівняння кривих блиску короткоперіодичних комет в різних їх появах дає інформацію про еволюцію кометної активності і про її зв'язок з сонячною активністю і умовами в міжпланетному космічному просторі.

Таблиця 1. Фотометричні параметри комети 9P/Tempel 1 у всіх її появах

Поява	H_0	n	H_{10}	Примітки	Посилання
1867 II	–	–	8.4^m	–	5
1873 I	–	–	9.2	–	5
1879 III	–	–	10.4	–	5
1972 V	–	–	12.0 ± 0.1	–	6
	$10.57^m \pm 0.35^m$	3.00 ± 0.64	9.75 ± 0.09	Pre Per	This paper
1978 II	–	–	13.94	–	7
1983 XI	5.36 ± 0.15	–	8.61 ± 0.03	All	8
	5.82 ± 0.26	9.04 ± 0.50	8.47 ± 0.06	All	This paper
	5.30 ± 0.16	10.02 ± 0.28	8.64 ± 0.03	Pre Per	8
	5.96 ± 0.28	8.82 ± 0.51	8.55 ± 0.07	Pre Per	This paper
	7.86 ± 3.06	10.16 ± 0.29	8.25 ± 0.15	Post Per	8
	5.99 ± 1.41	8.36 ± 3.02	8.01 ± 0.14	Post Per	This paper
1994	5.23 ± 0.19	10.41 ± 0.35	8.62 ± 0.06	Pre Per	This paper
2005	7.19 ± 0.42	8.05 ± 0.71	9.37 ± 0.08	Pre Per	This paper

3.1. Криві блиску

Фотометрична поведінка комети 9P/Tempel 1 до перигелію дуже схожа в усіх чотирьох розглянутих появах (рис. 1). Як можна бачити, піки яскравості комети (які відповідають максимумам спалахів блиску) знаходяться практично на однакових геліоцентричних відстанях у всіх чотирьох появах. Особливо це помітно для спалахів, що відбуваються на відстані 1.8, 1.76, 1.62 і 1.51 а.о. від Сонця ($\log r = 0.255, 0.246, 0.210$ і 0.179 відповідно). Вперше подібне явище було виявлене у комети 10P/Tempel 2 [2, 3]. В роботі [4] було показано, що ця особливість спалахової активності типова для всіх комет, що спостерігались.

На жаль, із-за поганих умов спостережень після перигелію, післяперигелійна крива блиску комети 9P/Tempel 1 може бути побудована лише для появ 1983 і 2005 рр., і то лише по 49 оцінкам блиску (24 оцінки для появи 1983 р. і 25 оцінок для появи 2005 р.). Таким чином, фотометрична поведінка комети після перигелію не може бути детально вивчена.

3.2. Фотометричні параметри

Значення фотометричних параметрів H_0 , n і H_{10} наведені в табл. 1. Автори визначили значення всіх фотометричних параметрів для появ комети в 1972, 1983, 1994 і 2005 рр. Для цих появ наведено також значення параметрів, взяті із [6–8]. Для інших появ значення фотометричних параметрів взяті із [5–8].

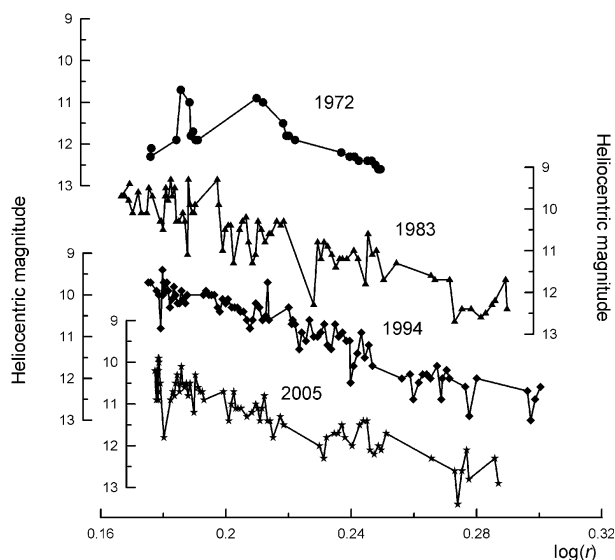


Рис. 1. Криві блиску комети 9P/Tempel 1 до перигелію у всіх чотирьох появах.

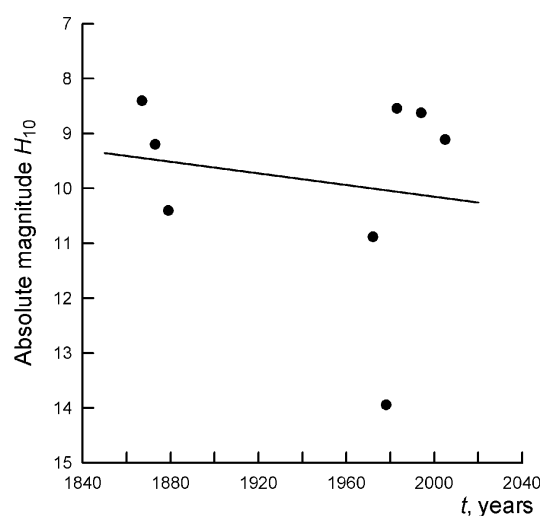


Рис. 2. Еволюція абсолютної зоряної величини H_{10} комети 9P/Tempel 1

3.3. Вікові варіації блиску

Вивчення особливостей вікового падіння блиску комети 9P/Tempel 1 важливе з точки зору можливого впливу штучного удару на фотометричну еволюцію комети. Зміну абсолютної зоряної величини H_{10} приведено на рис. 2, побудованому по даних табл. 1. З використанням цих даних було враховано середнє значення вікового падіння блиску комети рівне 0.0060^m за рік або близько 0.04^m за період орбітального обертання. Це значення добре відповідає середньому значенню вікового падіння блиску для короткоперіодичних комет сімейства Юпітера (0.05^m за орбітальний період [4]).

4. ФОТОМЕТРИЧНА ПОВЕДІНКА І СПАЛАХИ БЛИСКУ ДО І ПІСЛЯ УДАРУ

Крива блиску комети поблизу моменту удару приведена на рис. 3 (вверху). Видно, що комета була активною до і після зіткнення імпактора з ядром. Потужний спалах блиску почався 22 червня 2005 р. й досяг максимуму 27 червня. Наступний спалах почався 2 липня і його максимум припав на 4 липня — безпосередньо перед зіткненням. Удар імпактора породив штучний спалах блиску, яка почалась в момент удару і розвивалась в часі, досягнув максимуму лише 6–7 липня, але її амплітуда не перевищила 0.7^m (рис. 3).

Побудована нами крива інтегрального візуального блиску добре відповідає іншим спостереженням, виконаним наземними інструментальними засобами і з борту пролітного модуля КА “Deer Impact” [10]. Зокрема, як можна бачити на рис. 3 (внизу), хід кривої блиску корелює зі зміною продуктивності молекул води [11].

5. ВИСНОВКИ

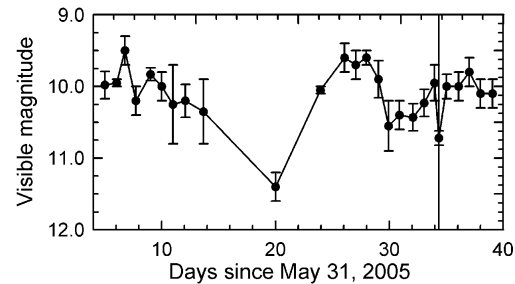
1. Побудована і досліджена крива блиску короткоперіодичної комети 9P/Tempel 1 — цілі космічної місії “Deer Impact” у всіх появах, що спостерігались. Визначені значення фотометричних параметрів H_0 , n і H_{10} .

2. Вивчено вікове падіння блиску комети і знайдено його значення за рік і за орбітальний період комети.

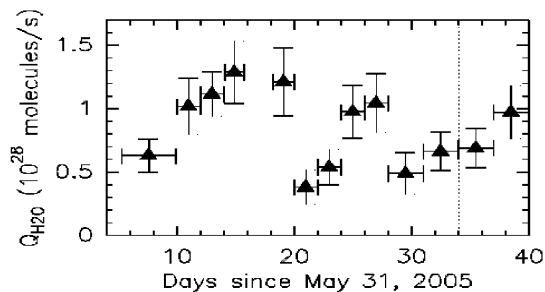
3. Показано, що фотометрична поведінка комети поблизу дати зіткнення з імпактором добре відповідає ходу зміни продуктивності молекул води.

4. Порівняння отриманих нами результатів з результатами вивчення фотометричних особливостей комети в наступних її появах може дати інформацію про вплив штучного впливу на ядро комети на зміну його активності.

1. Morris C.S., (1973), Astron. Soc. Pacific, p.170.
2. Churyumov K.I., Filonenko V.S., (1992) in “Observations and Physical Properties of Small Solar System Bodies”, (Liege), p. 295.
3. Чурюмов К.И., Филоненко В.С., (1992), Письма в АЖ, С.922.
4. Чурюмов К.И., Филоненко В.С., (1997), Астрон. Вестник, С.43.
5. Всехсвятский С.К., (1958), Физические характеристики комет.
6. Всехсвятский С.К., (1979), Физические характеристики комет 1971–1975.
7. Андриенко Д.А., Карпенко А.В., (1987) Физические характеристики комет 1976–1980.
8. Андриенко Д.А., Карпенко А.В., (1993) Физические характеристики комет 1981–1985.
9. Svoren J., (1991), Contributions of the Astronomical Observatory Skalnaté Pleso, P.15.
10. Bensch F., Melnick G. J., Neufeld D. A., et al., (2005), Astrochemistry: Recent Successes and Current Challenges, Proceedings of the 231st Symposium of the International Astronomical Union, (Cambridge), Pp.489–490.
11. Meech K.J., Ageorges N., A’Hearn M.F., et al. (2005), Science, Pp.265–269.



Light curve of comet 9P/Tempel 1 constructed by authors



Water production rate of comet 9P/Tempel 1. The vertical line gives the impact time. (Bensch et al., 2005).

Рис. 3. Крива блиску комети 9P/Tempel 1 поблизу дати удару, побудована авторами (вверху) і зміна продуктивності молекул води [10] (внизу; вертикальна лінія показує момент удару).

Надійшла до редакції 18.10.2009